

RG-9042.- Foto puntual de la formación problema. Se observan aunque de forma dislocada, algunos ciclos turbidíticos (calcarenitas) dentro de la serie margosa de color tabaco.



RG-9043.- Foto panorámica. Véase el contraste de color entre la formación problema y las albarizas.



RG-9044.- Detalle de los niveles de silexitos extremadamente distorsionados dentro de las margas blancas (Albarizas).



RG-9045.- Idem a 9044.



RG-9046.- Foto panorámica, donde se observa la formación problema (colores tabaco) entremezclada con margas blancas albarizas, en dos relieves más altos dominan las albarizas.



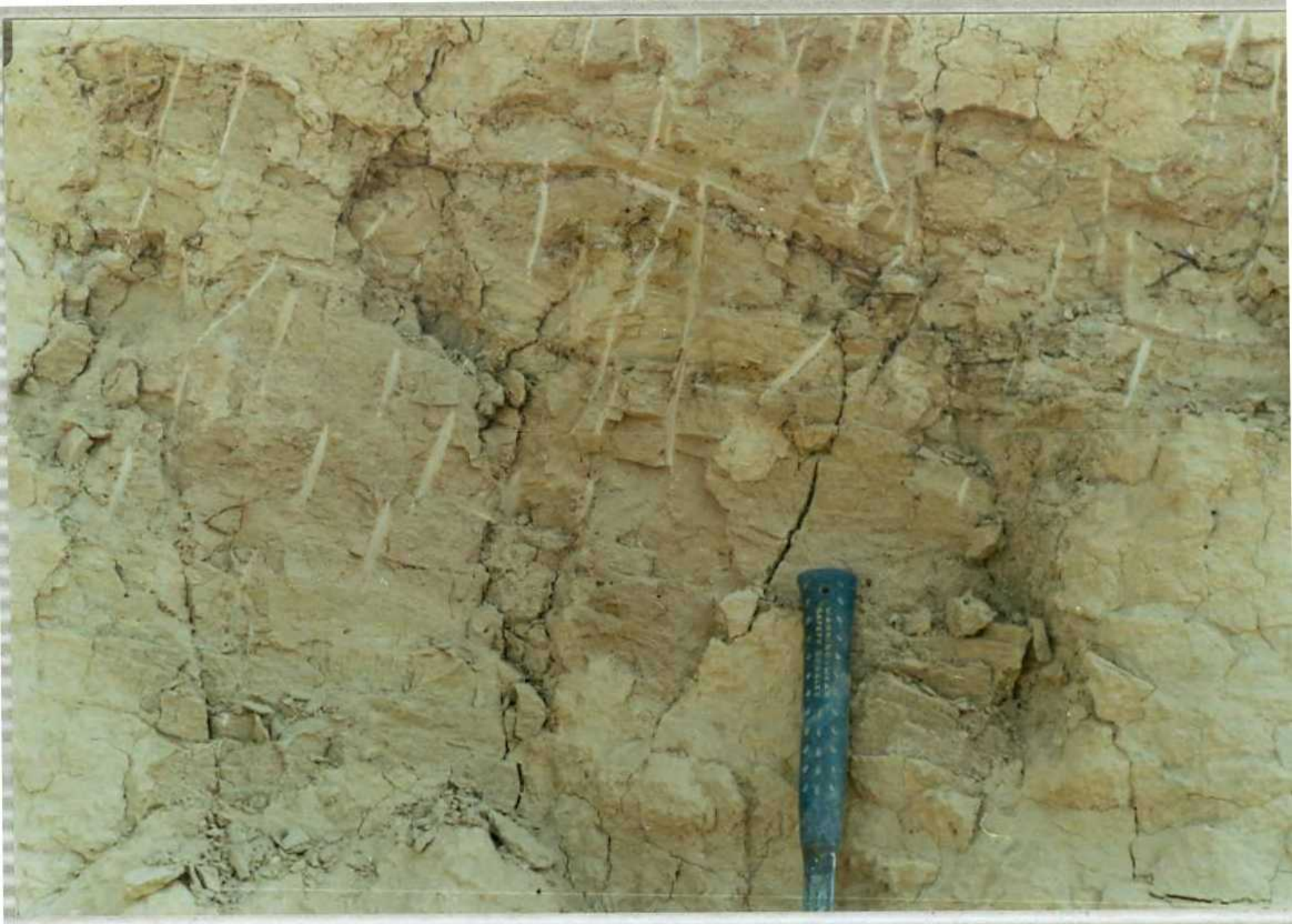
RG-9047.- Muy parecida a 9042. En el martillo, calcarenitas de caracter turbidítico.



RG-9048.- Foto panorámica, contraste entre las margas gris-azuladas y las albarizas.



RG-9049.- Niveles de arenas (gravas finas) intercaladas en limos y margas marrones (margas azules).



RG-9050.- Ripples de oscilación que comprenden limos y margas (zonas más oscuras); zona batida por el oleaje debe corresponder a la parte alta de las margas azules y transito al Plioceno Inferior.



RG-9051.- Albarizas, margas blancas laminadas muy poco densas. Hay un contraste de color no se si en la foto se aprecia, blanco (diatomita) y algo más mate de componente más margosa.



RG-9052.- Calcarenitas incluidas en albarizas (detalle).



RG-9053.- Albarizas. Nivel de datomitas.



RG-9054.- Limos arenosos con ostreidos. Plioceno Inferior, foto detalle.



RG-9055.- Panorámica, primer plano de 9054 al fondo moronitas, en vaguada la falla de la cartografía.



CZ-9335.- Facies sublitoral del Plioceno superior (1). Conglomerado de cantos de cuarzo y arenisca, con fauna de Ostreas y Pectínidos. Bioturbación abundante. Depósito muy carbonatado. A techo presenta un depósito de escorrentía, Cuaternario, sobre el que se desarrolla un suelo pardo oscuro. La Capitana.



CZ-9336.- Discordancia entre el Mioceno superior (margas verdes en la base) y los conglomerados y arenas grises del Plioceno superior (1). Representa un canal mareal complejo, en zona submareal. A techo las "Arenas rojas" (4), del Plio-Cuaternario. Punta del Espíritu Santo.



CZ-9337.- Depósito marino sublitoral (shoreface). Conglomerado de cantos de cuarzo y arenisca del Plioceno superior (1). Se trata de un material agitado por olas y por mareas que desorganizan y arrastran los restos de bivalvos mezclándolos con cantos y acumulándolos en megaripples de creta curva que migran en la zona sublitoral poco profunda. A techo de la serie se desarrolla un karst, cuyo relleno con arcillas arenosas rojas con cantos de cuarzo sobre los que se desarrolla un suelo rojo (5). Arroyo Hondo próximo al apeadero Peña del Aguila.



CZ-9338.- Horizonte argílico B_t del suelo rojo (5) que se desarrolla sobre el Plioceno superior de la serie de Arroyo Hondo. Apeadero del Aguila.



CZ-9339.- Depósito marino sublitoral, en el que se observan algunas facies de "lagoon". Plio-Cuaternario (3) a techo suelo rojo (5). Todo el depósito se presenta muy bioturbado. Próximo al Apeadero de la Ballena.



CZ-9340.- "Arenas rojas" (4). Depósito fluvial en el que se observan fuertes alteraciones producidas por procesos de pseudogley. Cantera a la entrada de Sanlúcar por la Cra. Nacional 441.



CZ-9341.- "Arenas rojas" (4) con canales planos de cantos de cuarcita y cuarzo. Cantera a la entrada de Sanlúcar por la Cra. Nacional 441.



CZ-9342.- "Arenas rojas" (4) con "alios férricos", concentraciones de hierro y manganeso que siguen estructuras sedimentarias. Próximo a Bonanza.



CZ-9343.- Suelo rojo, horizonte B_t (argílico) desarrollado sobre las "Arenas rojas". Inmediantamente al sur de la Punta Espíritu Santo.



CZ-9344.- Sucesión de materiales marinos Pleistoceno inferior-medio (6) que buzan ligeramente (10^{o}) hacia el SO. Arenas amarillas con niveles más cementados y con estratificación cruzada de gran escala. Depósito de shoreface. Punta de Montijo-Finca Isla Verde.



CZ-9345.- Conglomerado a techo de los materiales del Pleistoceno inferior y medio; corresponderían al nivel marino del Faro de Chipiona del Pleistoceno superior. Dichos conglomerados están muy karstificados. Costa Casa Carbonell.



CZ-9346.- Secuencia de la superposición de los depósitos marinos del Pleistoceno superior (7) "Facies ostionera". A techo depósitos del glacis de cobertera (9). Faro de Chipiona.



CZ-9347.- Sobre el nivel marino del Pleistoceno superior "facies ostionera" (7), una ligera ingresión marina marcada por un microconglomerado de cantos de cuarzo y cuarcita (martillo), sucede en esta zona en época más reciente. Faro de Chipiona.



CZ-9348.- Depósitos de lagoon (11) cortados en microacantilados por el mar actual. Costa entre Agua Dulce y Arroyo Hondo.



CZ-9349.- Depósitos de lagoon (11) en los que se intercalan lentejones arenosos correspondientes a los washover fan. Costa entre Agua Dulce y Arroyo Hondo.



CZ-9350.- Dunas costeras móviles (26), que constituyen el cordón de Cierre de la Laguna de Regla.



CZ-9351.- Dunas móviles (26) de la Flecha de la Algaida en su contacto con las "Arenas rojas". Bonanza.



CZ-9352.- Dunas fijadas por pinos que se instalan sobre la Flecha de la Algaida (17). Pinar del Monte Algaida.



CZ-9353.- Explotación de sales en la desembocadura del Guadalquivir. N. de Bonanza.



CZ-9354.- Flecha litoral de Doñana (17). Desde la Punta del Espíritu Santo.



CZ-9355.- Bancal de oleaje actual en costa erosiva; obsérvese la posición del bunker. Punta de Montijo.



CZ-9356.- Aspecto de las playas arenosas entre Agua Dulce y Arroyo Hondo. Bunker hoy en día sobre el bancal de oleaje.



CZ-9357.- Bancal de oleaje labrado en los conglomerados del Plioceno superior (1). Punta del Espíritu Santo.



CZ-9358.- Paisaje monótono alomado que se observa en los materiales margosos del sustrato subbético.